

## 表面摩擦与润滑

# TC4 表面等离子 Ni 改性层摩擦磨损研究

王振霞<sup>1</sup>, 陈丽红<sup>2</sup>, 单小林<sup>1</sup>, 贺志勇<sup>1</sup>, 刘小萍<sup>1</sup>

(1. 太原理工大学 表面工程研究所, 太原 030024; 2. 北方信息控制集团, 太原 030006)

**摘要:** 目的 研究 TC4 表面等离子 Ni 改性层摩擦磨损情况, 以提高航空用钛合金的使用寿命。方法 以近等原子比 TiNi 二元合金作为源极靶材, 利用等离子表面合金化技术在 TC4 表面制备 Ni 改性层, 考察合金层的组织、成分、相结构以及硬度分布, 分析 Ni 改性层和基体的摩擦学性能。结果 Ni 改性层主要由  $Ti_2Ni$ , TiNi, Ti 等相组成, Ni 原子数分数最高为 18%; 表面硬度高达 625HV; 改性后的摩擦系数与基体相近, 磨痕宽度是基材的 1/3。结论 TC4 表面等离子 Ni 改性层耐磨性增加。

**关键词:** 等离子; TC4; Ni 改性层; 摩擦磨损

中图分类号: TG174. 445 文献标识码: A 文章编号: 1001-3660(2015)01-0092-04

## Study on Friction and Wear of Plasma Ni Modified Layer on Surface of TC4

WANG Zhen-xia<sup>1</sup>, CHEN Li-hong<sup>2</sup>, SHAN Xiao-lin<sup>1</sup>, HE Zhi-yong<sup>1</sup>, LIU Xiao-ping<sup>1</sup>

(1. Research Institute of Surface Engineering, Taiyuan University of Technology, Taiyuan 030024, China;  
2. North Automatic Control Technology Institute, Taiyuan 030006, China)

**ABSTRACT: Objective** In order to improve the service life of titanium alloy, which is widely used in aeronautical industry, friction and wear properties of TC4 surface plasma Ni modified layer were studied. **Methods** In this process, the near-equiautomatic TiNi binary metal was used as the sputtering source, and Ni modified layer was developed by plasma surface alloying technology. Micro-structure, ingredient distribution, phase structure, and hardness distribution of the Ni modified layer were analyzed. Friction and wear properties of Ni modified layer and the substrate were observed. **Results** The results indicated that the Ni modified layer was composed of  $Ti_2Ni$ , TiNi and Ti phases, and the maximum content of Ni element was nearly 18%. The surface hardness was about 625HV. The friction coefficient of Ni modified layer was comparable with that of the substrate material, and the grinding crack width was 1/3 of that of the substrate. **Conclusion** The wear property of the TC4 surface plasma Ni modified layer was improved.

**KEY WORDS:** plasma; TC4; Ni modified layer; friction and wear

收稿日期: 2014-08-23; 修订日期: 2014-12-01

Received : 2014-08-23; Revised : 2014-12-01

基金项目: 国家自然科学基金项目(51071106, 51474154); 山西省自然科学基金项目(2014011015-7, 2012011021-4); 山西省回国留学人员科研资助项目(2013-048)

**Fund:** Supported by the National Natural Science Foundation of China (51071106, 51474154), Shanxi Province Natural Science Foundation (2014011015-7, 2012011021-4) and the Research Project Supported by Shanxi Scholarship Council of China (2013-048)

作者简介: 王振霞(1980—), 女, 山西文水人, 博士, 讲师, 主要从事钛合金表面处理的研究。

**Biography:** WANG Zhen-xia (1980—), Female, from Wenshui, Shanxi, Ph. D., Lecturer, Research focus: surface treatment research of titanium alloy.

TC4 比强度高、耐腐蚀性能优良,被广泛应用于航空航天、医疗、汽车等领域,但是存在硬度低、不耐磨损的缺点<sup>[1-3]</sup>。目前已经有众多的表面改性技术用于提高 TC4 耐磨性,包括合金化、涂层及薄膜技术。TiNi 合金作为一种形状记忆合金,除了具有良好的弹性、韧性外,还具有很好的耐磨性及疲劳特性<sup>[4]</sup>。在不同的摩擦条件下对 TiNi 合金磨损行为的研究发现,其耐磨性优于许多传统的铁基、镍基和钴基的耐磨材料。TiNi 合金的伪弹性以及较强的加工硬化能力是其耐磨的主要原因。国内外部分学者将 TiNi 涂层应用到金属材料的表面处理上,以提高金属材料的耐磨性能。王华明等<sup>[5-6]</sup>在钛合金表面采用激光熔敷技术,制备了由 TiNi/Ni<sub>3</sub>Ti 或 TiNi/Ti<sub>2</sub>Ni 金属间化合物组成的摩擦学性能良好的涂层。Cheng F T 等<sup>[7-8]</sup>利用钨极电弧焊法及激光表面处理方法在 316L 不锈钢表面制备了具有耐空隙腐蚀性能的 TiNi 涂层。Richman 等<sup>[9]</sup>在低碳钢表面采用爆炸焊法制备具备抗冲蚀性的 TiNi 合金涂层。目前制备 TiNi 涂层的方法主要集中在激光熔敷、电弧焊法、电火花烧结等技术,这些处理方法能够不同程度地改善钛合金的耐磨性能,但是在改性层表面可能会形成微裂纹,进而破坏其疲劳性能。

本文利用等离子合金化技术在 TC4 表面制备梯度 Ni 改性层,以提高钛合金的耐磨性能,解决薄膜技术膜基结合强度不足的问题。

## 1 实验

实验采用尺寸为  $\phi 16\text{ mm} \times 3\text{ mm}$  的 TC4 基材,抛光备用。源极为近等原子比 TiNi 板。采用渗金属炉,工件电压为 560~450 V,源极电压为 800~650 V,温度为 900 °C,时间为 3 h,放电气压为 35 Pa,极间距为 18 mm。

合金化处理完成后,用 OLYMPUS GX71+DP72 图像分析系统进行截面形貌分析;采用 GDOES750 测定成分;采用 Rigaku X-Ray diffractometer 进行相结构分析;采用 Leco M-400-H1 型显微硬度仪检测截面的硬度分布。球盘磨损试验配副为直径 4.75 mm 的 GCr15 钢球。法向载荷为 3.65 N,转速为 150 r/min,磨痕轨迹直径为 9.5 mm,总滑动行程为 100 m。实验环境温度为(20±2) °C,相对湿度为(65±5) %。磨损实验完成后,采用 Hitachi S-4800 扫描电子显微镜观察磨痕形貌。

## 2 结果与讨论

### 2.1 Ni 改性层的表征

图 1 为 900 °C 和 1000 °C 合金化后,Ni 改性层截面组织形貌。从图中可以看出渗层均匀致密,基材组织为  $\alpha+\beta$  组织,经 1000 °C 处理后明显比 900 °C 粗大。图 1a 为等轴晶粒,塑性和抗疲劳性能得到有效保证;图 1b 为板条状,粗大的组织使得脆性大大增加,影响钛合金的使用<sup>[10]</sup>。

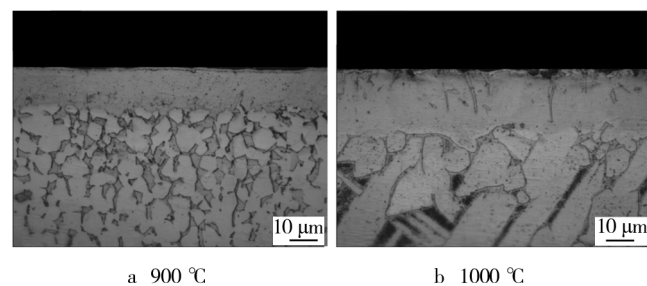


Fig. 1 Cross-section morphology of the Ni modified layer

图 2 为 Ni 改性层界面的元素分布。Ni 元素沿渗层深度平缓下降,从表面到 20 μm 处其原子数分数平均约为 18%。图 3 为 Ni 改性层 XRD 分析结果,主要由 Ti<sub>2</sub>Ni, TiNi, Ti 等相组成。

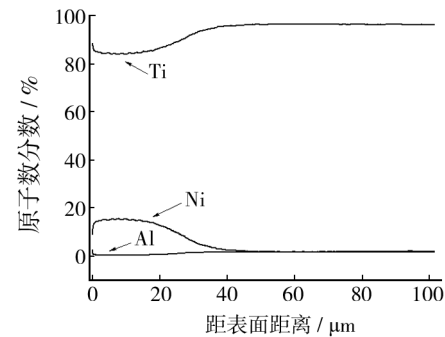


Fig. 2 Interface elements distribution of the Ni modified layer

### 2.2 Ni 改性层的硬度分布

图 4 为 Ni 改性层截面显微硬度随渗层厚度的分布。由硬度可以判断出合金层厚度约为 50 μm。表面硬度达 620HV。Ni 元素属于共析型  $\beta$  相稳定元素,当 Ni 元素通过扩散进入钛合金基体时,Ni 与 Ti 形成置换固溶体后,钛的晶格发生畸变,阻碍了位错

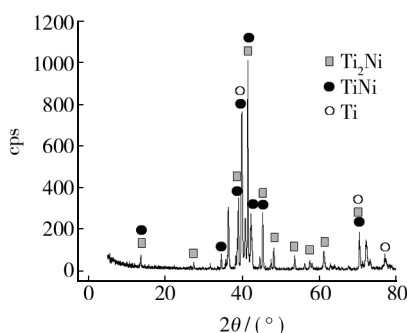


图3 Ni改性层XRD分析

Fig. 3 XRD spectrum of the Ni modified layer

运动,起到固溶强化的作用<sup>[10]</sup>。另外Ni与Ti还会发生共析相变,生成弥散、细小的第二相化合物,对基体起到弥散强化的作用。

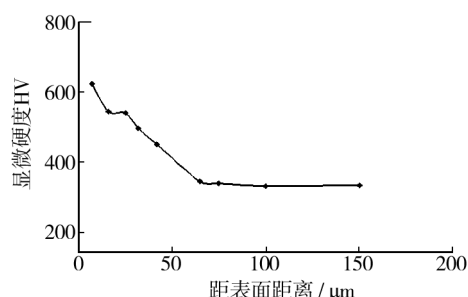


图4 Ni改性层硬度分布

Fig. 4 Hardness distribution of the Ni modified layer

### 2.3 摩擦磨损性能

图5为TC4和Ni改性层摩擦系数曲线。在初始摩擦阶段,摩擦表面是微凸体相互接触。表面粗糙微凸体发生剧烈破坏和塑性变形,这一阶段摩擦系数主要受接触表面的粗糙度影响<sup>[11]</sup>,Ni改性层实测粗糙度为0.61,TC4基体抛光后粗糙度仅为0.05。因此在初始阶段,Ni改性层摩擦系数比基体大。经过短时间的磨合,表面逐渐被“磨平”,磨损速率减缓,摩擦系数趋于稳定,进入稳定磨损阶段。此时,两者的摩擦系数基本接近,摩擦系数平均为0.35。

图6a和图6b分别为TC4基体及Ni改性层滑动100 m之后的磨痕形貌,其磨痕宽度分别为922 μm和250 μm,显然Ni改性层耐磨性能优于TC4基体。图6a中,基体磨损区域与未磨损区边界非常清晰,磨痕较深。由于基体较软,承载能力不足,在摩擦初期对磨件压入深度较大,摩擦中塑性变形强烈并发生粘着、撕裂,伴随塑性变形带来的加工硬化,脆性增加,局部应力集中处也可能发生开裂剥离成为磨屑。TC4导热性能较差,随着摩擦的进行,产生的热量很容易

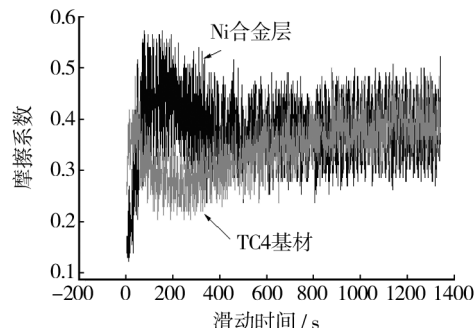


图5 摩擦系数曲线

Fig. 5 Curve of friction coefficient

在表面蓄积,当滑动速度和接触载荷较大时,摩擦热产生的速度要比导出的速度快,会在短时间内产生一个温度高峰。随着热量的不断导出,磨屑会发生氧化形成磨粒,导致磨粒磨损的发生。从磨痕形貌看出,TC4基体磨损机制主要为磨粒磨损和粘着磨损。Ni改性层硬度较高,结合强度好,承载能力大,磨痕没有出现明显犁沟,表现为少量“擦伤”和磨粒磨损<sup>[12]</sup>。

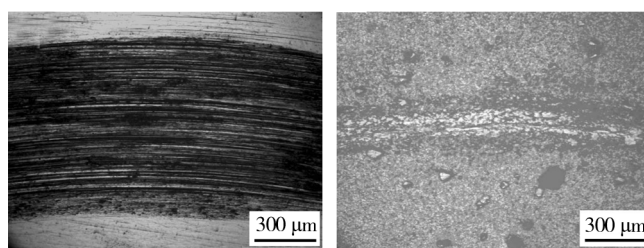


图6 磨痕形貌

Fig. 6 Pattern of wear scars

图7分别为Ni改性层磨痕以及放大图,图8为图7中3个点的EDS分析结果。从图7可知,Ni改性层的磨痕呈河流花样状。EDS结果表明,点1与点3雷同,主要由68% (原子数分数,下同)的Ti,21%的Fe,9%的Ni元素组成,说明点1处与GCr15摩擦时只发生磨粒磨损;点2处主要由58%的Fe,27%的O,13%的Ti元素组成,没有检测到Ni。由于在磨痕中心处温度上升很高,对磨件GCr15发生粘着磨损,磨屑转移到Ni改性层表面,转移物由于摩擦产生的热量而氧化生成氧化物,点扫描结果显示主要是Fe的氧化物,存在少量钛的氧化物。由于Ni含量较少,没有出现Ni的氧化物。从Ni改性层磨痕局部放大图也可以明显看到生成了氧化物磨屑。由以上分析可以看出,Ni改性层与GCr15做相对滑动时,GCr15对磨副表面的氧化物不断形成,随之又被磨去,在接触

面上氧化物循环去除与形成,Ni改性层表面有部分擦伤、沟槽出现,磨损机制表现为典型的磨粒磨损特征。

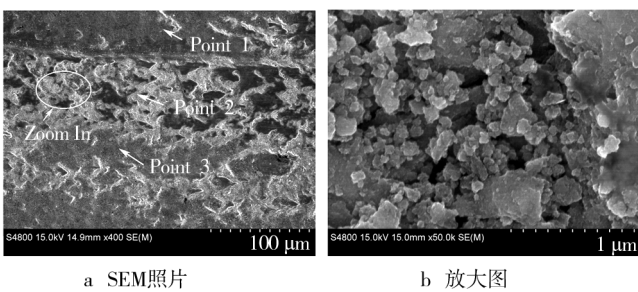


图7 Ni改性层磨痕SEM照片

Fig. 7 SEM image of wear scars on the Ni modified layer

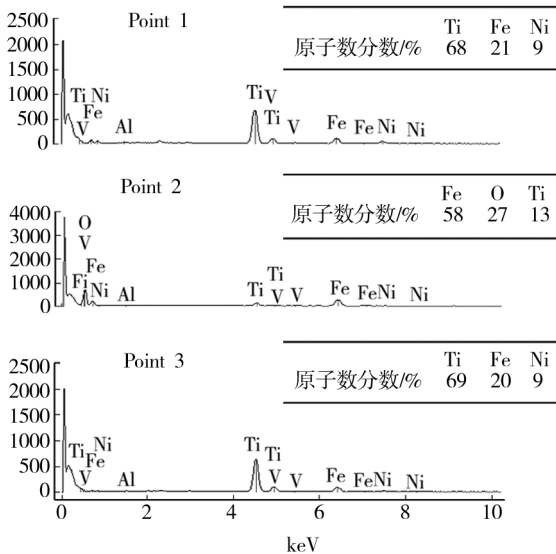


图8 图7a中点1,2,3的EDS分析

Fig. 8 EDS of points 1, 2, 3 in Fig. 7a

### 3 结论

1) Ni改性层由 $Ti_2Ni$ , $TiNi$ , $Ti$ 相组成,Ni元素的原子数分数最高为18%,Ni改性层最高硬度达620HV。

2) TC4改性后摩擦系数接近,耐磨性提高。TC4磨损机制以磨粒磨损和粘着磨损为主,Ni改性层为磨粒磨损。

3) Ni改性层中 $TiNi$ 具有良好的韧性和超弹性特性,而 $Ti_2Ni$ 是一种具有面心立方晶体结构的金属间化合物,具有较高的硬度,约为HV700<sup>[13]</sup>。 $TiNi$ 的高韧性及 $Ti_2Ni$ 的高硬度相互协调,决定了Ni改性层优良的耐磨性。因此,Ni改性层耐磨性能提高的原因可以归因为 $TiNi$ 的高韧性和 $Ti_2Ni$ 的高硬度。

### 参考文献

- [1] KAESTNER P,OLFE J,HE J W,et al. Improvement in the Load-bearing Capacity and Adhesion of TiC Coatings on TiAl6V4 by Duplex Treatment [J]. Surface and Coatings Technology,2001,142/144:928—933.
- [2] HE Zhi-yong,WANG Zhen-xia,WANG Wen-bo,et al. Surface Modification of Titanium Alloy TC4 by Plasma Niobium Alloying Process [J]. Surface and Coatings Technology,2007,201(9/11):5705—5709.
- [3] 屠振密,朱永明,李宁,等.钛及钛合金表面处理技术的应用及发展[J].表面技术,2009,38(6):76—78.  
TU Zhen-mi,ZHU Yong-ming,LI Ning, et al. Applications and Advances on Surface Treatment for Titanium and Titanium Alloy[J]. Surface Technology,2009,38(6):76—78.
- [4] LI D Y. A New Type of Wear-resistant Material: Pseudo-elastastic TiNi Alloy[J]. Wear,1998,221(2):116—123.
- [5] 李昂,李安,张凌云,等.激光熔化沉积 $NiTi/Ni_3Ti$ 金属间化合物合金的显微组织和耐磨性[J].中国有色金属学报,2006,16(5):867—873.  
LI Ang,LI An,ZHANG Ling-yun, et al. Microstructure and Wear Resistance of Laser Melting Deposited  $NiTi/Ni_3Ti$  Intermetallic Alloys [J]. The Chinese Journal of Nonferrous Metals,2006,16(5):867—873.
- [6] GAO F,WANG H M. Effect of TiNi in Dry Sliding Wear of Laser Melt Deposited  $Ti_2Ni/TiNi$  Alloys [J]. Materials Characterization,2008,59(9):1349—1354.
- [7] CHENG F T,LO K H,MAN H C. NiTi Cladding on Stainless Steel by TIG Surfacing Process: Cavitation Erosion Behavior [J]. Surface and Coatings Technology,2003,172:308—315.
- [8] CHU K Y,CHENG F T,MAN H C. Cavitation Erosion Resistance of AISI 316L Stainless Steel Laser Surface-modified with  $NiTi$  [J]. Materials Science and Engineer A, 2005,392(1/2):348—358.
- [9] Richman R H. Cavitation Erosion of  $NiTi$  Explosively Welded to Steel[J]. Wear, 1995,181/183:80—85.
- [10] 张翥.钛的金属学与热处理[M].北京:冶金工业出版社,2009.  
ZHANG Zhu. Metallography and Heat Treatment of Titanium [M]. Beijing: Metallurgical Industry Press,2009.
- [11] 王利捷,杨军胜.钛合金表面 $MoS_2/TiN$ 复合涂层的摩擦性能研究[J].表面技术,2010,39(2):11—13.  
WANG Li-jie,YANG Jun-sheng. The Study on Tribological Properties of  $MoS_2/TiN$  Composite Coating on the Surface of Titanium Alloy [J]. Surface Technology: 2010, 39 (2): 11—13.

(下转第126页)

- [J]. Corrosion Science, 2014, 55(1):372—379.
- [18] YUAN Shao-jun, LIANG Bin, ZHAO Yu, et al. Surface Chemistry and Corrosion Behaviour of 304 Stainless Steel in Simulated Seawater Containing Inorganic Sulphide and Sulphate-reducing Bacteria [J]. Corrosion Science, 2013, 54(1):353—366.
- [19] 谢建丽, 金凯峰, 蒋晓斌, 等. 带锈碳钢在稀 NaCl 溶液中的腐蚀行为 [J]. 表面技术, 2014, 43(2):55—59.  
XIE Jian-li, JIN Kai-feng, JIANG Xiao-bin, et al. Corrosion Behavior of Rusted Carbon Steel in Diluted NaCl Solution [J]. Surface Technology, 2014, 43(2):55—59.
- [20] NA Mi. Use of Inkjet Printing to Deposit Magnesium Chloride Salt Patterns for Investigation of Atmospheric Corrosion of 304 Stainless Steel [J]. Corrosion Science, 2011, 53(10):3114—3121.
- [21] 吴勃, 周明, 李宝家, 等. 飞秒激光结合水热法制备不锈钢高粘附超疏水表面 [J]. 功能材料, 2013, 44(24):3658—3662.  
WU Bo, ZHOU Ming, LI Bao-jia, et al. Fabrication of Stainless Steel Surface with High Adhesive Superhydrophobicity by Femtosecond Laser Combined Hydrothermal Method [J]. Function Materials, 2013, 44(24):3658—3662.
- [22] 林飞云, 冯杰, 黄明达, 等. 基于不锈钢模板热压微模塑构建聚乙烯超疏水表面 [J]. 功能高分子学报, 2010, 23(2):211—214.  
LIN Fei-yun, FENG Jie, HUANG Ming-da, et al. Fabricating Polyethylene Superhydrophobic Surfaces by Thermal Replica Molding Using Etched Stainless Steel Surfaces as Templates [J]. Journal of Functional Polymers, 2010, 23(2):211—214.

(上接第 95 页)

- [12] 田晓东, 王利捷, 郑文鹏. TC4 钛合金表面辉光离子渗 Mo 渗 S 复合处理涂层的组织和摩擦学性能 [J]. 表面技术, 2013, 42(2):4—6.  
TIAN Xiao-dong, WANG Li-jie, ZHENG Wen-peng. Microstructure and Tribological Properties of Coatings Prepared by Glow Plasma Deposition Mo and S on TC4 Titanium Alloy [J]. Surface Technology, 2013, 42(2):4—6.

(上接第 116 页)

- [12] IM J S, JANG J S, LEE Y S. Synthesis and Characterization of Mesoporous Electrospun Carbon Fibers Derived from Silica Template [J]. Industrial and Engineering Chemistry Research, 2009, 48(6):914—918.
- [13] SANDLER J, SHAFFER M S P, WINDLE A H. Development of a Dispersion Process for Carbon Nanotubes in an Epoxy Matrix and the Resulting Electrical Properties [J]. Polymer, 1999, 40(21):5967—5971.
- [14] BANTHIA N, YAN C, SAKAI K. Impact Resistance of Fiber Reinforced Concrete at Subnormal Temperature [J]. Cement Concrete Composites, 1998, 20(5):393—404.
- [15] YAN H, SUN W, CHEN H. Effect of Silica Fume and Steel Fiber on the Dynamic Mechanical Performance of High-strength Concrete [J]. Cement Concrete Research, 1999, 29

- [13] 李昂, 王华明. 激光熔敷 NiTi/Ni<sub>3</sub>Ti 金属间化合物复合材料涂层组织及耐磨性 [J]. 材料热处理学报, 2006, 27(5):87—90.  
LI Ang, WANG Hua-ming. Microstructure and Wear Resistance of Laser Clad NiTi/Ni<sub>3</sub>Ti Intermetallic Composite Coating [J]. Transactions of Materials and Heat Treatment, 2006, 27(5):87—90.

- (3):423—426.
- [16] 王闯, 李克智, 李贺军. 短碳纤维在不同分散剂中的分散性 [J]. 精细化工, 2007, 24(1):1—4.  
WANG Chuang, LI Ke-zhi, LI He-jun. The Dispersivity of Short Carbon Fibers in Different Dispersants [J]. Fine Chemicals, 2007, 24(1):1—4.
- [17] CAO J, CHUNG D D L. Improving the Dispersion of Steel Fibers in Cement Mortar by the Addition of Silane [J]. Cement Concrete Research, 2001, 31(2):309—311.
- [18] AIMIN X, CHANDRA S. Influence of Polymer Addition on the Rate of Carbonation of Portland Cement Paste [J]. Internet Cement Composites Lightweight Concrete, 1988, 10(1):49—52.